

【書類名】

図面

【図1】

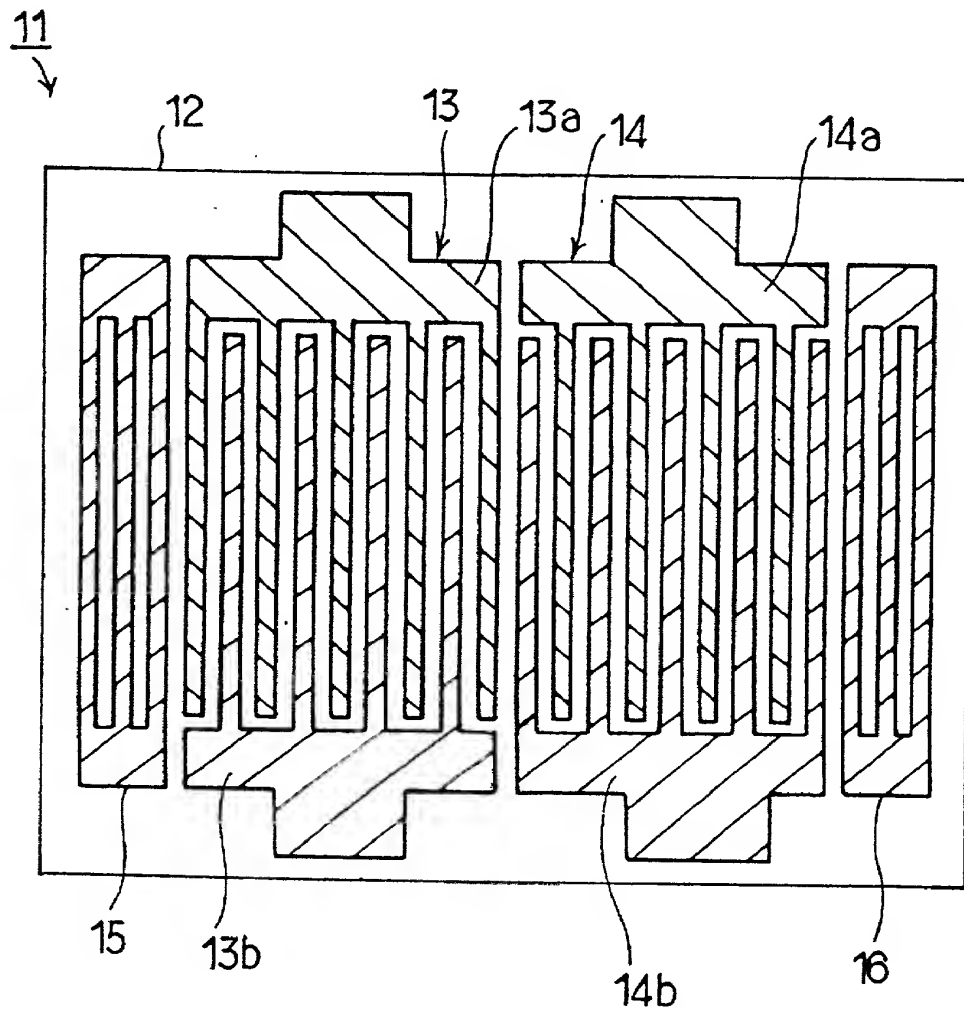
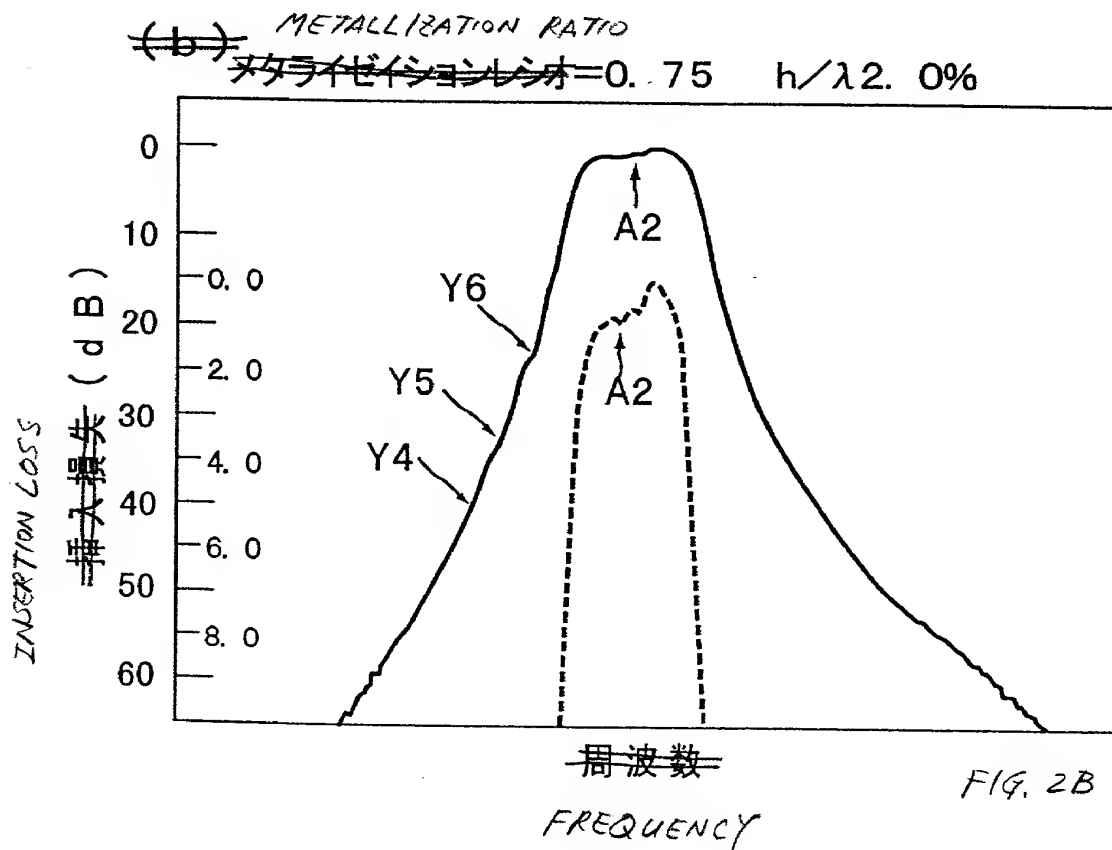
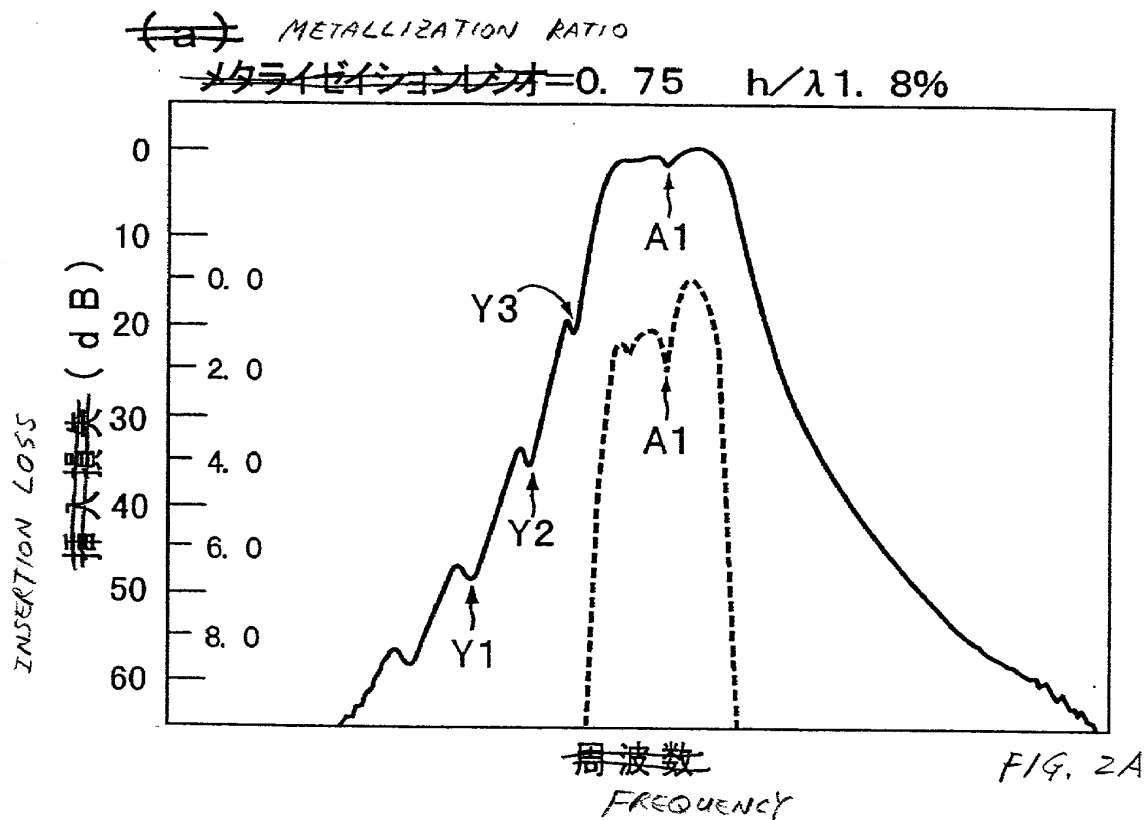


FIG. 1

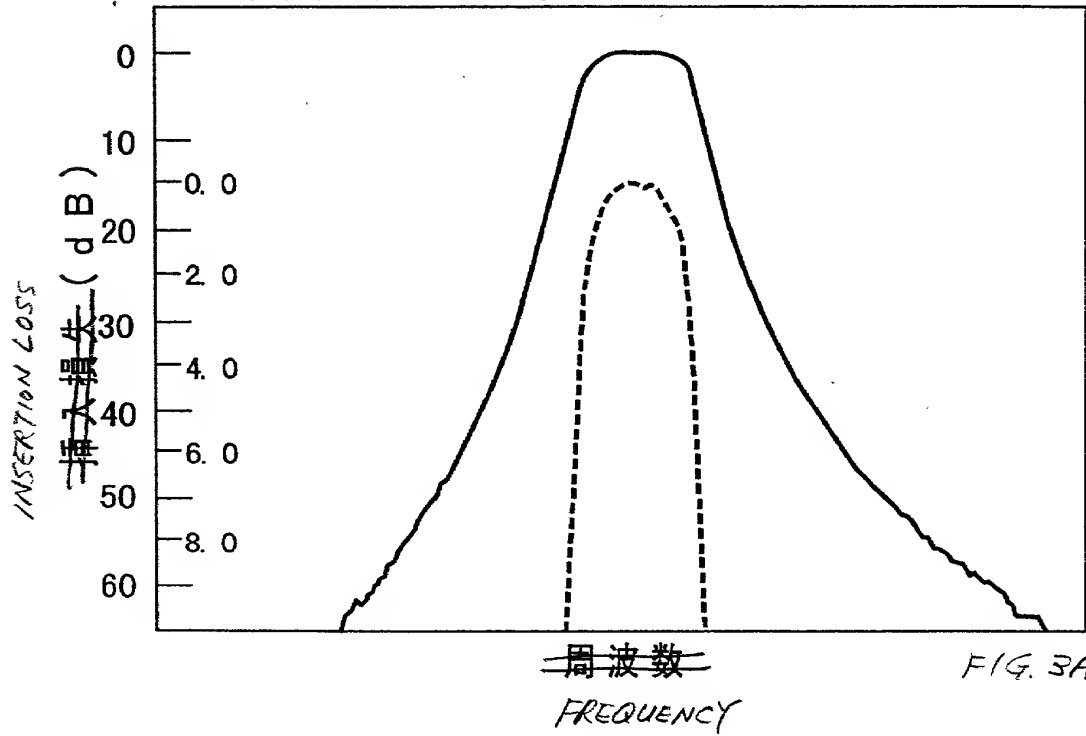
~~図2~~



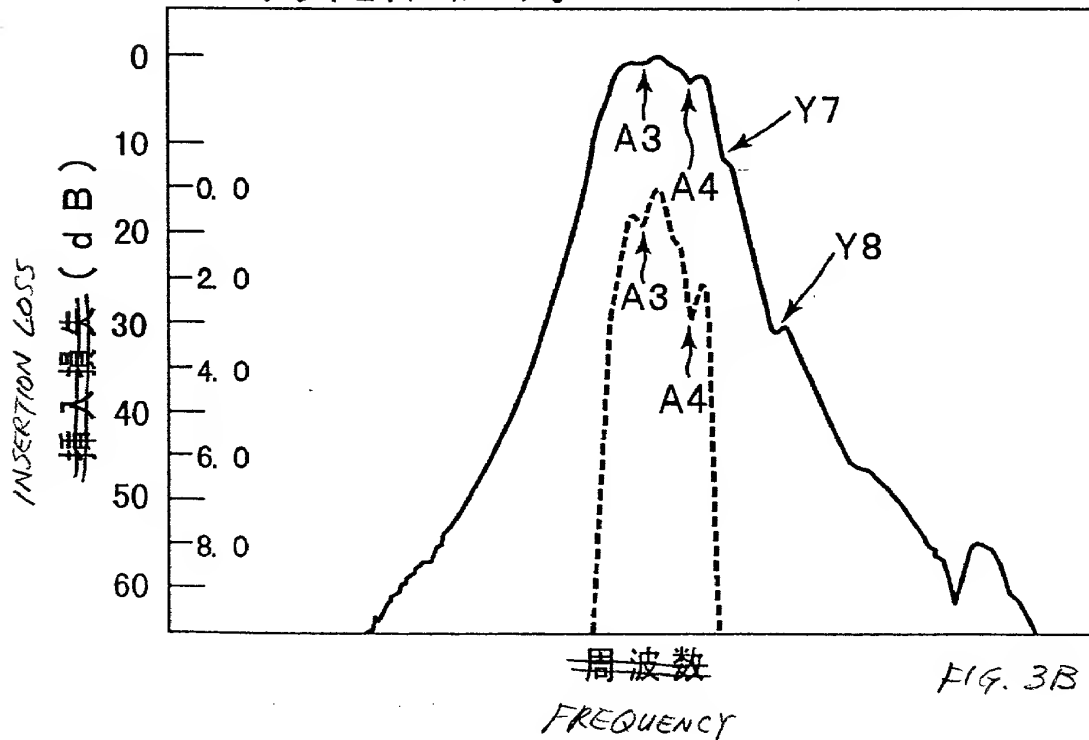
FO2260 FEB9660

~~(図3)~~

~~(a)~~ METALLIZATION RATIO
~~メタライゼーションレシオ~~ = 0.75 $h/\lambda 2.2\%$



~~(b)~~ METALLIZATION RATIO
~~メタライゼーションレシオ~~ = 0.75 $h/\lambda 2.4\%$



ANISOTROPIC INDEX AT T_a /CRYSTAL

METALLIZATION RATIO

T_a /水晶の異方性指数 T_a での異方性指数=0.75

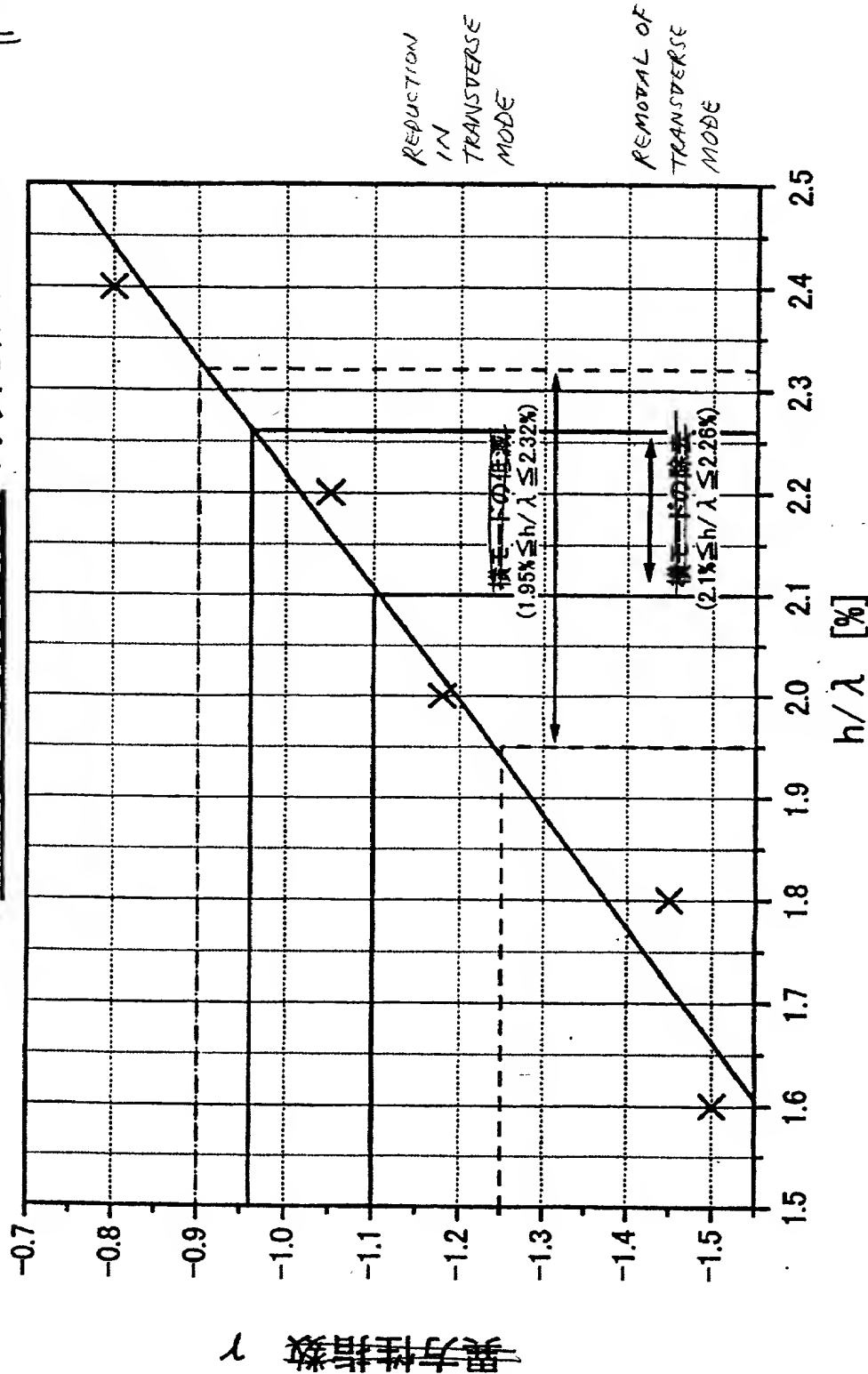
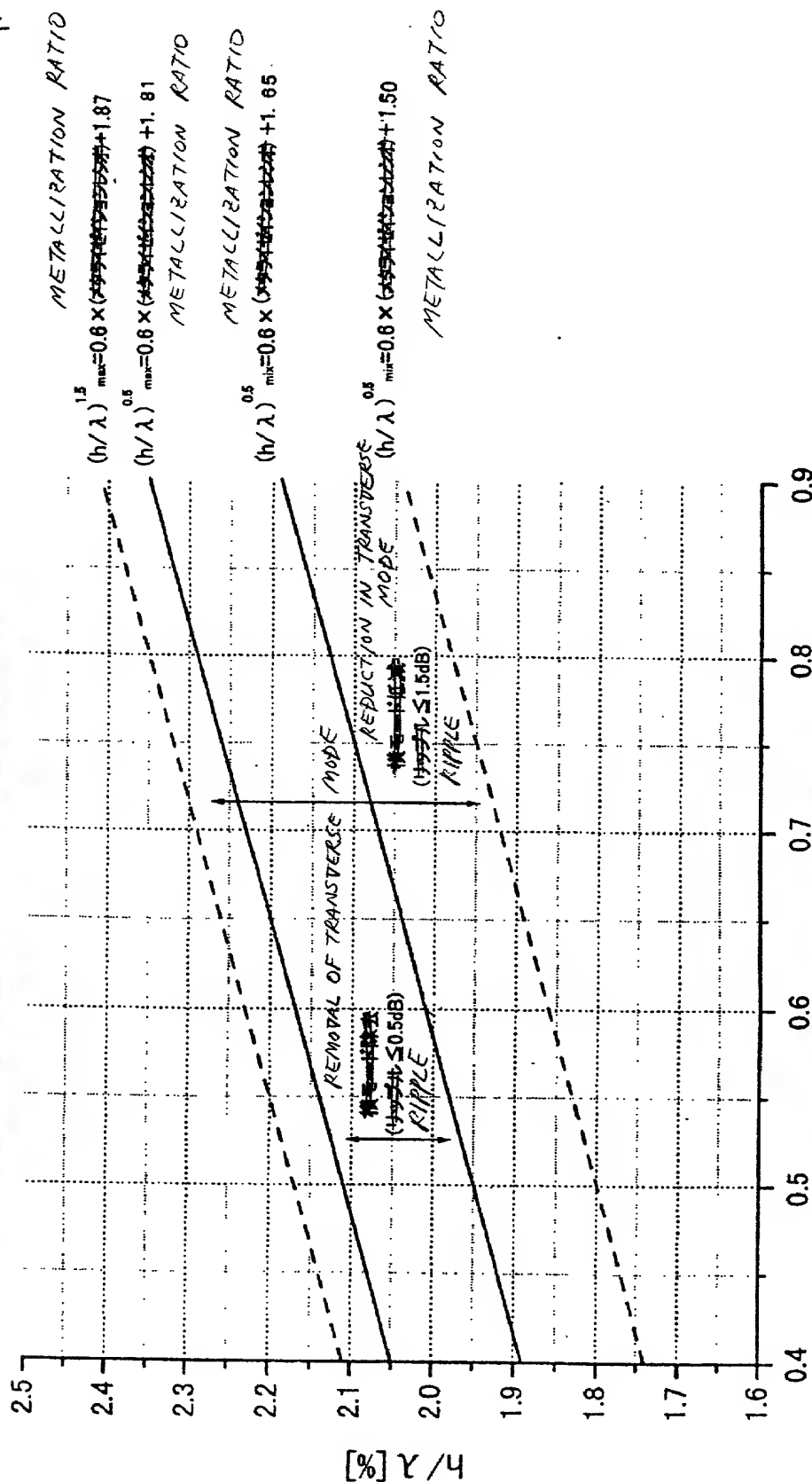


FIG. 4

RANGE WHERE RIPPLE CAUSED BY TRANSVERSE-MODE WAVE CAN BE REDUCED

図5

横モードによるリップルの低減可能な範囲

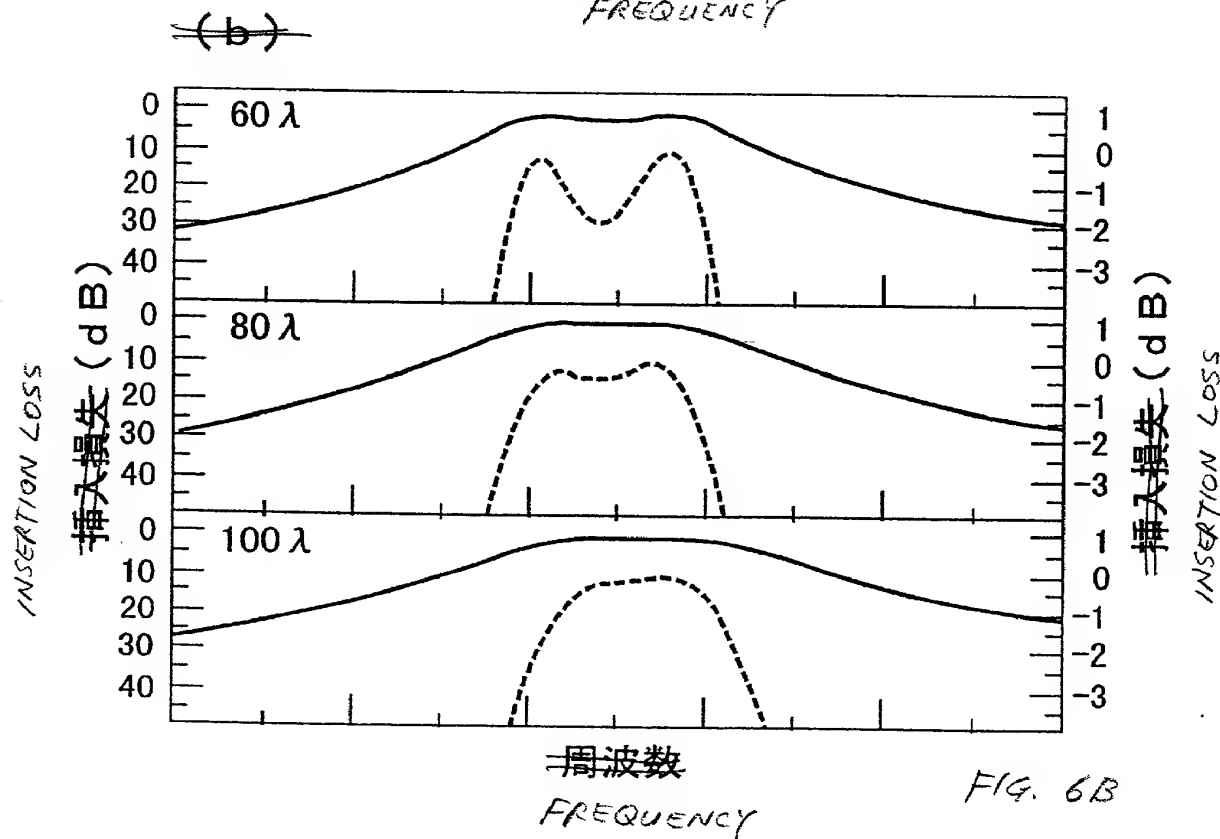
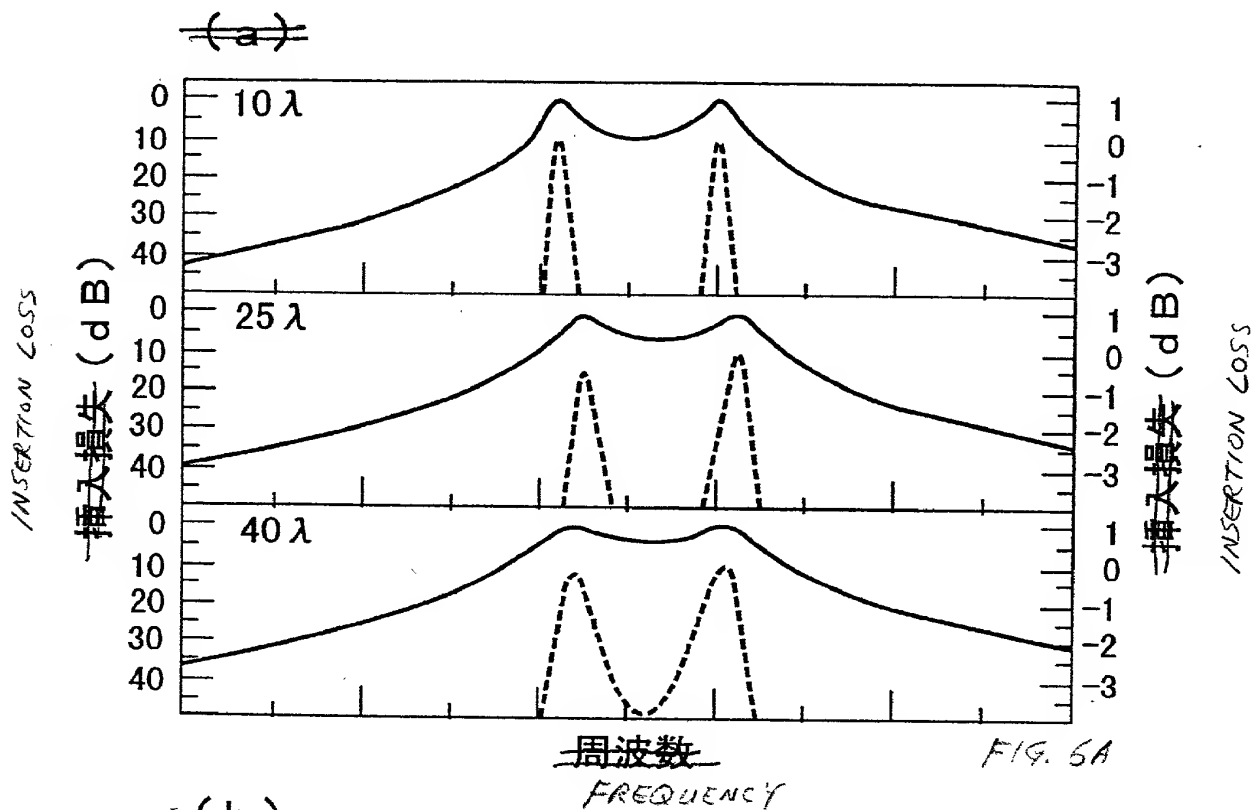


リップル低減可能な範囲

METALLIZATION RATIO

FIG. 5

~~図6~~



~~図7~~

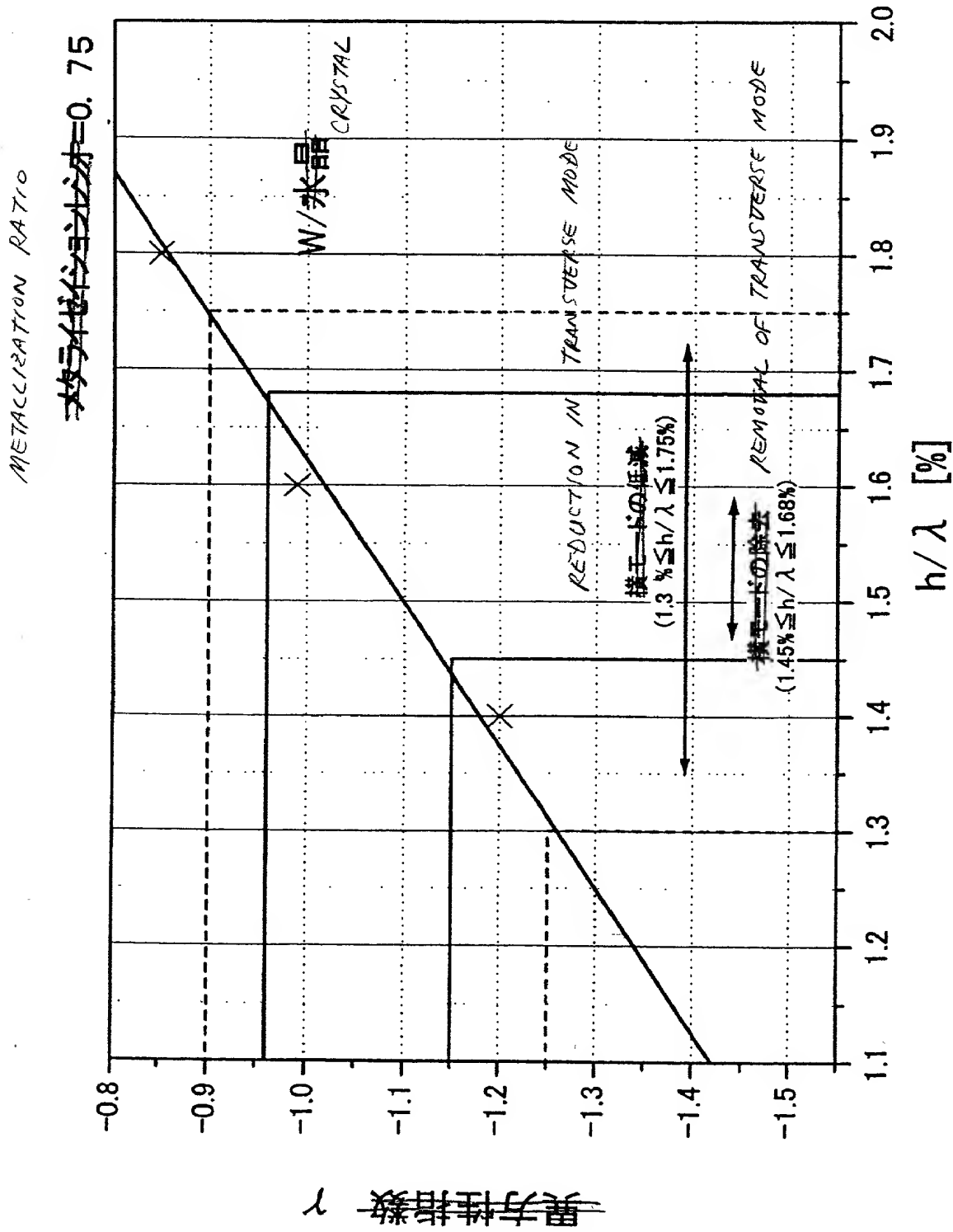


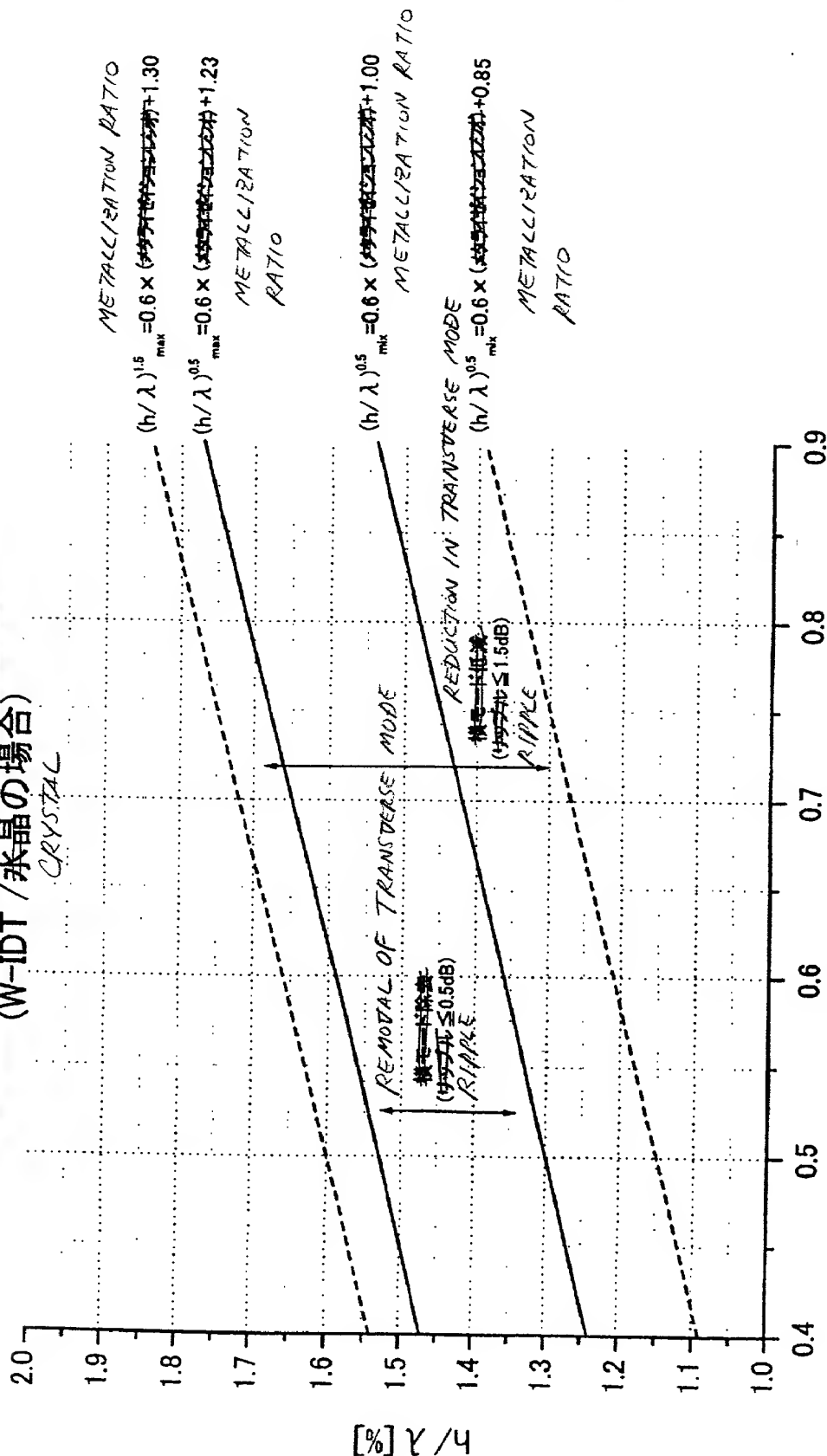
FIG. 7

RANGE WHERE RIPPLE CAUSED BY TRANSVERSE-MODE WAVE
CAN BE REDUCED

横モードによる「ツナル」の「膨」可能な範囲

(W-IDT / 氷晶の場合)

CRYSTAL



タライゼンボイ

METALLIZATION RATIO

FIG. 8

〔図9〕

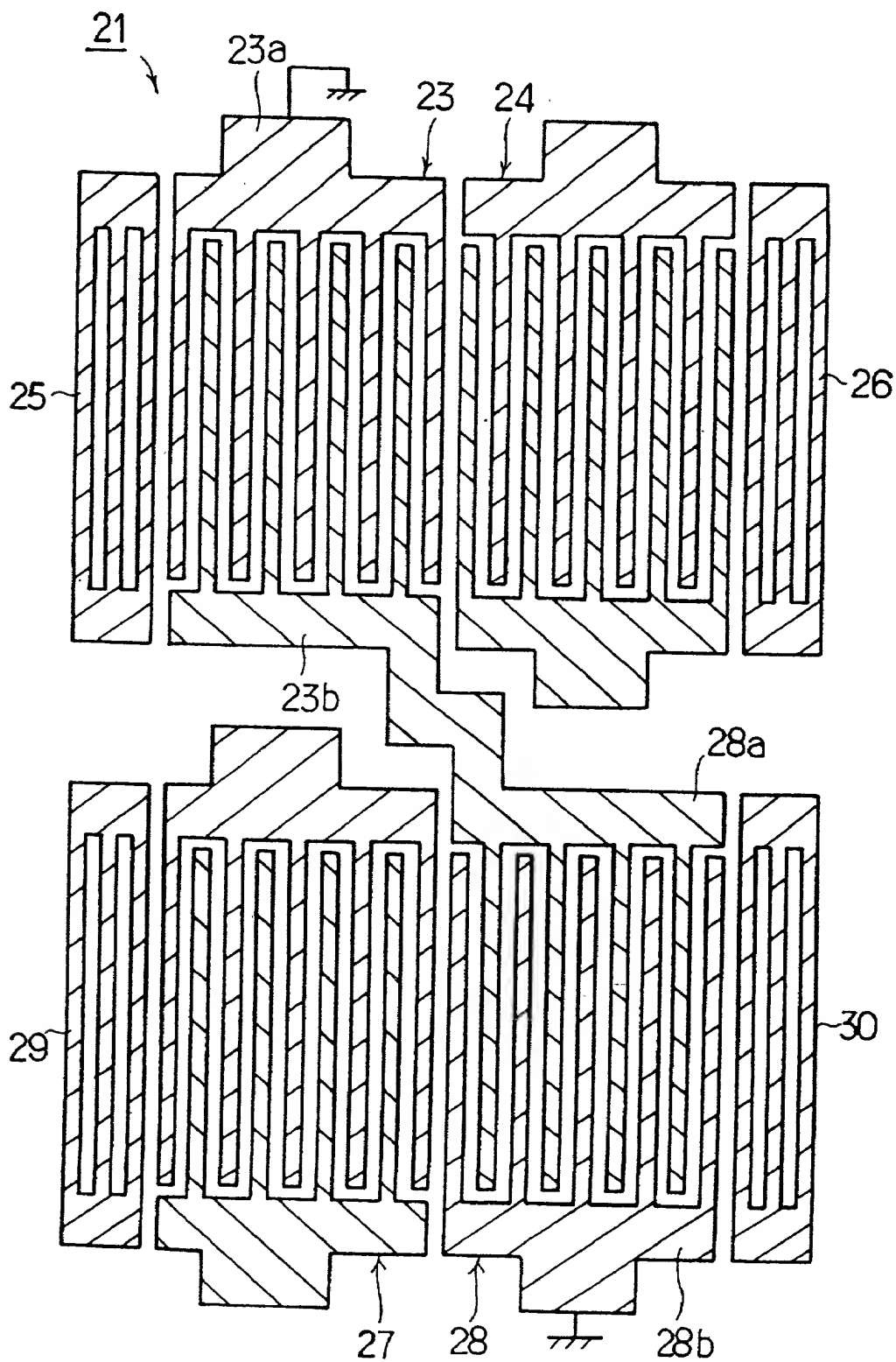


FIG. 9

~~【図10】~~

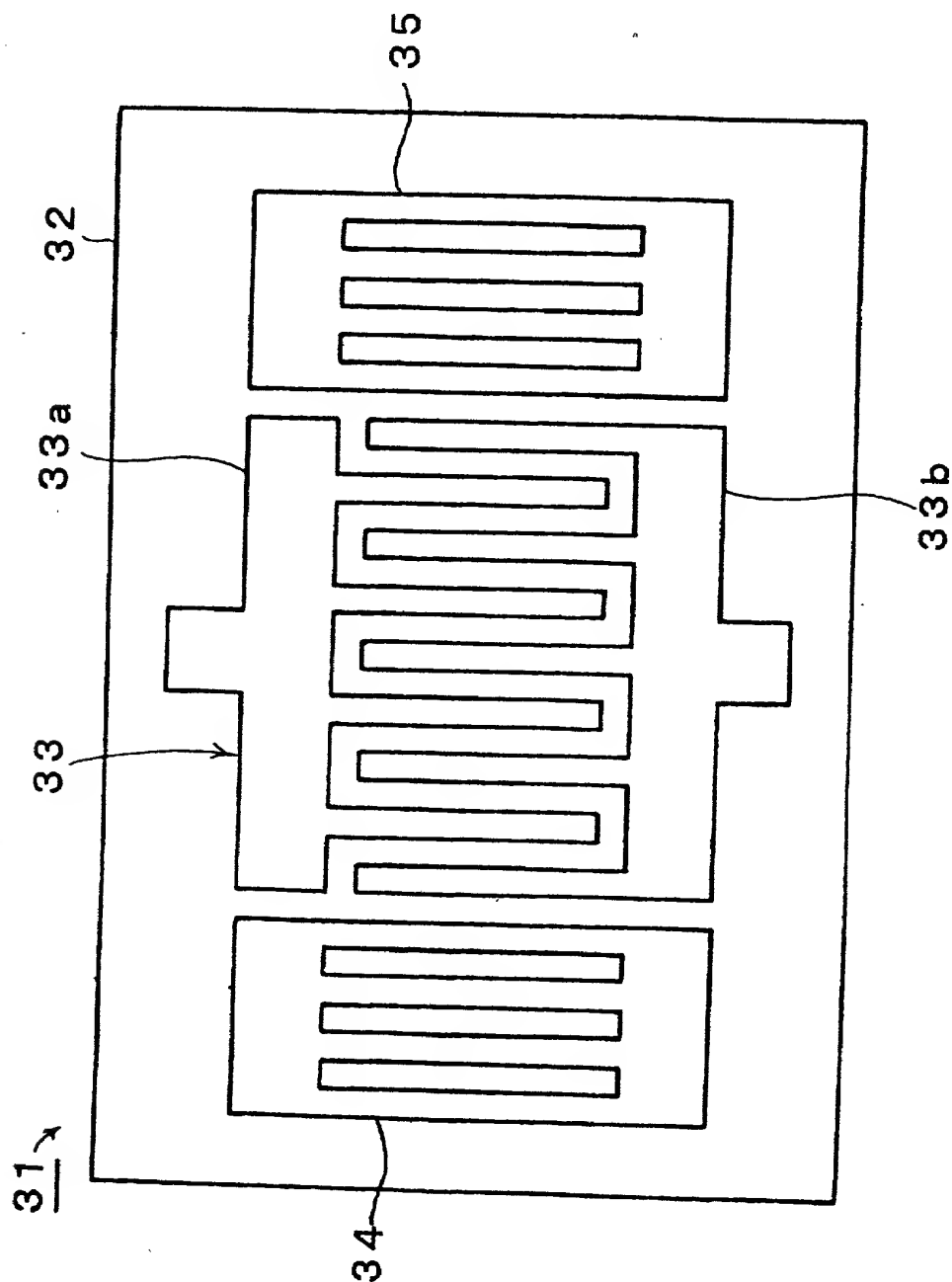


FIG. 10

~~【図11】~~

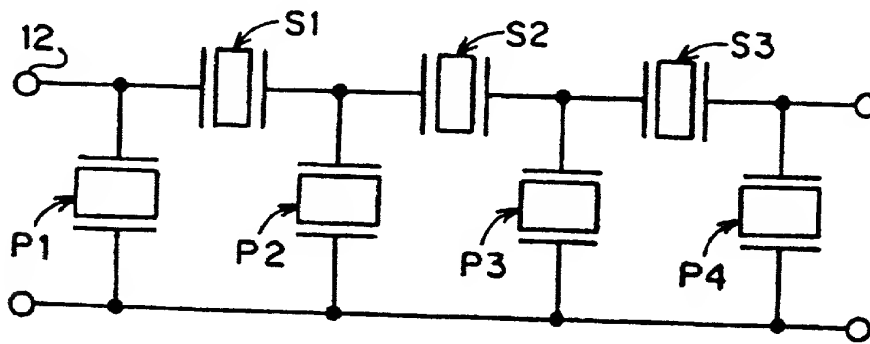


FIG. 11

~~【図12】~~

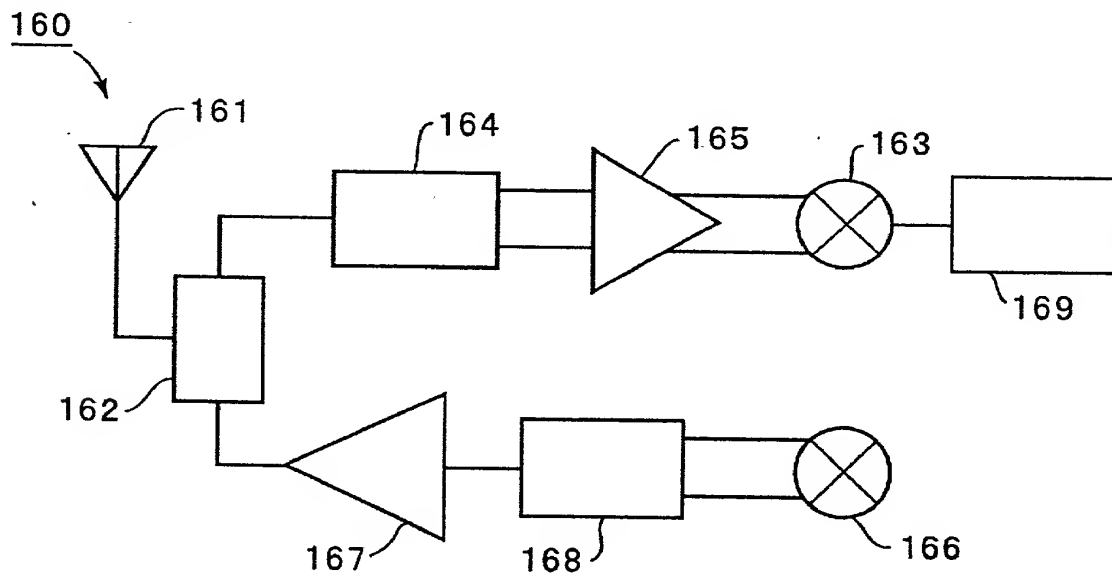


FIG. 12

09064031.092701
10/22/00 15:04:56.60

【図13】

METALLIZATION RATIO

~~メタライゼーション~~ = 0.75 h/λ 2.50%

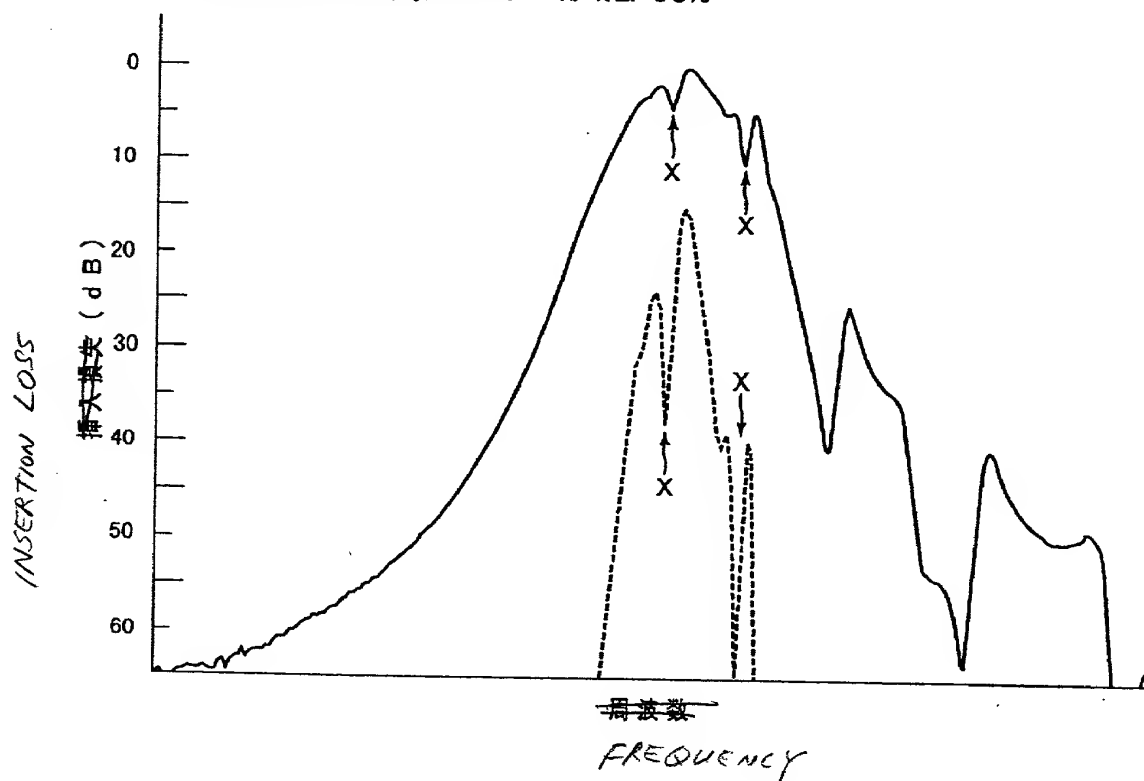


FIG. 13